

$$(49) \quad -1 < v < 0.$$

Таким образом, материал (44) традиционный изотропный, и для него коэффициент Пуассона в пределах (48). Материал (45) качественно другой: при растяжении стержня в продольном направлении он увеличивается в поперечных размерах; для него коэффициент Пуассона в пределах (49).

Для (37) $v = 0$. Класс материалов (37) как бы лежит между классом материалов (44), сокращающихся в поперечнике при продольном растяжении стержня, и классом материалов (45), расширяющихся в поперечнике при тех же условиях.

Во многих руководствах по теории упругости [1, с. 114; 4, с. 25; 12, с. 100; 14, с. 256] говорится, что в опытах не обнаружено материалов с отрицательным коэффициентом Пуассона. В [5] рекомендуется для разыскания материалов с отрицательным v проводить опыты при очень низких температурах, близких к абсолютному нулю, а также дается ссылка на опыты, в которых $v = -0,102$.

Приведенные примеры показывают полезность предложенной классификации упругих материалов. В дальнейшем следует изучить все 32 класса упругих материалов более детально. В [15—17] предлагается аналогичный подход к выяснению структуры обобщенного закона Гука. В [16] собственные тензоры t_{ijpq} построены в общем виде в зависимости от 15 произвольных параметров.

ЛИТЕРАТУРА

1. Ляв А. Математическая теория упругости.— М.— Л.: ОНТИ НКТП СССР, 1935.
2. Новацкий В. Теория упругости.— М.: Мир, 1975.
3. Новожилов В. В. Теория упругости.— Л.: Судпромгиз, 1958.
4. Ландау Л. Д., Лифшиц Е. М. Теория упругости.— М.: Наука, 1965.
5. Бехтерев П. Аналитическое исследование обобщенного закона Гука. Применение учения о потенциальной энергии и начала наименьшей работы.— Журн. Рус. физ.-хим. о-ва при Ленинград. ун-те. Часть физ., 1925, т. 57, вып. 3—4.
6. Бехтерев П. В. Определяющие коэффициенты упругости и деформаций с приложением к изотропии.— ЖЭТФ, 1934, т. 4, вып. 9.
7. Черных К. Ф. Симметричные функции симметричных тензоров в анизотропной теории упругости.— Изв. АН СССР. МТТ, 1970, № 3.
8. Новожилов В. В., Черных К. Ф. Об упругих постоянных линейной теории упругости.— В кн.: Современные проблемы механики и авиации. М.: Машиностроение, 1982.
9. Курош А. Г. Курс высшей алгебры.— М.: Физматгиз, 1962.
10. Гантмахер Ф. Р. Теория матриц.— М.: Наука, 1966.
11. Корн Г., Корн Т. Справочник по математике.— М.: Наука, 1968.
12. Папкович П. Ф. Теория упругости.— Л.— М.: Оборонгиз, 1939.
13. Лурье А. И. Теория упругости.— М.: Наука, 1970.
14. Работнов Ю. И. Механика деформируемого твердого тела.— М.: Наука, 1979.
15. Рыхлевский Я. О законе Гука.— ПММ, 1984, т. 48, вып. 3.
16. Остросаблин И. И. О структуре тензора модулей упругости. Собственные упругие состояния.— В кн.: Динамика сплошной среды. Новосибирск, 1984, вып. 66.
17. Чанышев А. И. О пластичности анизотропных сред.— ПМТФ, 1984, № 2.

Поступила 2/II 1984 г.

УДК 548.571

УРАВНЕНИЯ ТЕОРИИ ПЛАСТИЧНОСТИ ПРИ ОДНОСКОРОСТНОМ ПОТОКЕ ДИСЛОКАЦИЙ

III. X. Ханнанов

(Уфа)

Известные трудности в теории пластичности связаны с тем, что для пластических дисторсий β_{ik}^P [1] в отличие от упругих β_{ik} не существует простых конечных соотношений типа закона Гука [2]. Это обусловлено зависимостью β_{ik}^P от истории нагружения. В классических теориях пластичности принимаются различного вида определяющие соотношения, которые являются обобщениями эмпирических зависимостей, полученных при испытании макроскопических образцов [2].

Принципиально иной подход открывает физическая теория пластичности, в которой пластическая деформация рассматривается как коллективный эффект движения дислокаций и других дефектов кристаллической решетки. Такое описание пластической деформации статистическое и требует решения системы уравнений кинетики для функций распределения дефектов [3—5]. При этом математически задача становится весьма сложной и преимущества феноменологического подхода, заключающиеся в большой простоте, теряются. Однако польза физической теории, возможно, заключается не столько в решении конкретных задач, сколько в обосновании различных гипотез, лежащих в основе феноменологических теорий, и, в частности, определяющих соотношений.

В данной работе дается попытка перебросить некий мост между физической (дислокационной) и феноменологическими теориями пластичности. Получены определяющие соотношения для скорости пластической дисторсии $\dot{\beta}_{ik}^P$ на основе представлений о дислокациях в случае односкоростного их потока и сформулирована замкнутая система уравнений как частный и простой вариант теории пластичности. Даны некоторые конкретные приложения этих уравнений.

1. Упругое поведение тела под действием внешней нагрузки определяется динамическими уравнениями [2]

$$(1.1) \quad \sigma_{ij,i}^0 + f_i = \rho \ddot{u}_i^0.$$

Здесь σ_{ij}^0 — тензор внешних упругих напряжений; f_i — плотность объемных сил; ρ — плотность тела; u_i^0 — упругие смещения; индекс после запятой означает дифференцирование по соответствующей декартовой координате, точка сверху — производную по времени. Для замыкания уравнений (1.1) необходимо записать соотношения, выражающие упругие дисторсии β_{ik}^0 через упругие смещения u_i^0 [2]:

$$(1.2) \quad \beta_{ik}^0 = u_{k,i}^0$$

и закон Гука [2]

$$(1.3) \quad \sigma_{ij}^0 = c_{ijkl} \beta_{kl}^0 = c_{ijkl} e_{kl}^0,$$

где c_{ijkl} — упругие константы материала; e_{kl}^0 — упругие деформации (симметричная часть β_{kl}^0).

Упругопластическое поведение тела определяется как упругими β_{kl}^0 , так и пластическими $\dot{\beta}_{kl}^P$ дисторсиями, причем для $\dot{\beta}_{kl}^P$ не существует простых соотношений вида (1.3). Физически это связано со сложным характером эволюции дислокационных ансамблей, участвующих в процессе пластического деформирования. В общем случае физическое (дислокационное) описание пластической деформации сопряжено с решением уравнений кинетики для функций распределения дислокаций [3—5]. Сложность задачи не позволяет получить определяющие соотношения непосредственно для скорости пластической дисторсии $\dot{\beta}_{kl}^P$. Однако иное положение возникает в частном случае односкоростного потока дислокаций. Здесь необходимость решения кинетических уравнений отпадает, и удается получить (из первых принципов) определяющее уравнение для $\dot{\beta}_{kl}^P$.

В континуальной теории дислокаций, которая широко применяется при их статистическом описании, основные характеристики — тензоры плотности α_{pl} и плотности потока J_{kl} дислокаций, связанные с тензором пластической дисторсии β_{kl}^P формулами [3]

$$(1.4) \quad \alpha_{pl} = -\epsilon_{pmk} \beta_{kl,m}^P;$$

$$(1.5) \quad J_{kl} = \dot{\beta}_{kl}^P$$

(ϵ_{pmk} — единичный антисимметричный тензор). С другой стороны, тензоры α_{pl} , J_{kl} можно выразить через функцию распределения дислокаций $f(\tau, b; r, t)$ с помощью соотношений [4, 5]

$$(1.6) \quad \alpha_{pl} = \sum \tau_p b_l f(\tau, b; r, t);$$

$$(1.7) \quad J_{kl} = \varepsilon_{pmk} \sum \tau_p b_l v_m(\tau, b) f(\tau, b; r, t),$$

где τ — единичный вектор касательной к линии дислокации; b — вектор Бюргерса; $v(\tau, b)$ — вектор скорости дислокаций; r — радиус-вектор точки тела; t — время. Суммирование в (1.6), (1.7) ведется по всем возможным значениям пар векторов (τ, b) . Формулы (1.4)–(1.7) выражают взаимосвязь между макроскопической β_{kl}^P и микроскопической $f(\tau, b; r, t)$ характеристиками.

Вектор скорости дислокаций $v(\tau, b)$ в общем случае зависит от типа дислокации, т. е. от векторов (τ, b) . Рассмотрим частный случай односкоростного потока дислокаций, когда вектор скорости $v(\tau, b)$ не зависит от (τ, b) — для всех дислокаций одинаков. Тогда v_m выносится из-под знака суммы в (1.7), а оставшаяся сумма оказывается равной α_{pl} . Отсюда следует, что тензоры α_{pl} и J_{kl} в этом случае взаимосвязаны:

$$(1.8) \quad J_{kl} = \varepsilon_{pmk} \alpha_{pl} v_m.$$

Подставляя в (1.8) выражения (1.4), (1.5) для тензоров α_{pl} , J_{kl} , получаем после некоторых преобразований

$$(1.9) \quad \dot{\beta}_{kl}^P = -\beta_{kl,m}^P v_m + \beta_{ml,k}^P v_m.$$

Уравнения (1.9) можно рассматривать как определяющие соотношения (в дифференциальной форме) для пластической дисторсии $\dot{\beta}_{kl}^P$, связывающие тензор скорости пластической дисторсии $\dot{\beta}_{kl}^P$ с тензором эффективных напряжений σ_{ij}^+ . Последние входят в (1.9) через зависимость вектора скорости дислокаций v от σ_{ij}^+ . Динамический закон для дислокаций будем считать первичным, т. е. известным либо из эксперимента, либо из микроскопической теории подвижности дислокаций (см., например, [6]). Не конкретизируя до конца, запишем динамический закон для дислокаций в виде

$$(1.10) \quad \mathbf{v} = A[\sigma_{ij}^+(r, t)],$$

где A — векторно-значная функция от эффективного упругого напряжения σ_{ij}^+ . Эффективные напряжения складываются из внешних σ_{ij}^0 и внутренних (связанных с несовместностью пластической деформации) σ_{ij} :

$$(1.11) \quad \sigma_{ij}^+ = \sigma_{ij}^0 + \sigma_{ij}.$$

Внутренние напряжения можно определить, как и внешние, с помощью (1.3), подставив вместо $\dot{\beta}_{kl}^P$ упругие дисторсии β_{mn} , обусловленные несовместностью пластической дисторсии. Для β_{mn} , согласно [7], находим

$$(1.12) \quad \beta_{mn}(r, t) = - \int c_{ijkl} G_{jn,im}(\mathbf{R}, T) \beta_{kl}^P(r', t') dr' dt' - \beta_{kl}^P(r, t).$$

Здесь G_{jn} — динамическая функция Грина упругой задачи; $\mathbf{R} = \mathbf{r} - \mathbf{r}'$; $T = t - t'$.

Таким образом, уравнения (1.9), дополненные динамическим законом для дислокаций (1.10) и соотношениями (1.1)–(1.3), (1.11), (1.12), для определения эффективных напряжений составляют замкнутую систему, описывающую развитие пластической дисторсии во времени. Особенность данной системы — то, что она описывает пластическое поведение непосредственно на основе физических законов движения дислокаций — элементарных носителей пластической деформации.

Необычная форма полученных уравнений может вызвать некоторое недоумение. Действительно, с одной стороны, их совокупность включает в себя динамический закон движения дислокаций (1.10), с другой — в ней не содержится никакой информации о размножении и других превращениях дислокаций, которые существуют в общем случае [6]. Дело в том, что принятное выше предположение об односкоростном потоке дислокаций

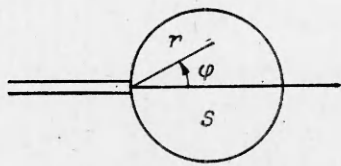


Рис. 1

как раз и запрещает размножение дислокаций в объеме. Всякий физический процесс размножения в объеме тела привел бы к образованию дислокаций разного знака, которые, находясь в одном и том же поле эффективных напряжений σ_{ij}^+ , должны были бы иметь векторы скорости противоположного знака, что противоречило бы предположению об односкоростном потоке дислокаций. Именно исключение процессов размножения дислокаций в объеме (но не на поверхности тела) дает столь сильное упрощение в описании пластического поведения. При этом дислокации зарождаются на поверхности тела и распространяются с фронтом пластической дисторсии. Градиент пластической дисторсии полностью определяет плотность дислокаций в соответствии с (1.4). Дислокации такого типа принято называть геометрически необходимыми [8].

Во избежание недоразумений следует указать еще на некоторые важные моменты. Во-первых, предположение об односкоростном потоке относится фактически к указанным геометрически необходимым дислокациям. Геометрически же необходимые дислокации одного сорта могут быть реально представлены физическими дислокациями нескольких сортов. Так, дислокационная субграница в кристалле при заданной разориентации может быть представлена различными системами дислокаций [6]. Во-вторых, хотя размножение для геометрически необходимых дислокаций в объеме запрещено, для представляющих их физических дислокаций допустимы процессы типа перезарядки, когда дислокация аннигилирует, порождая тут же другую. Физически это может быть, например, в поликристаллическом материале при эстафетной передаче скольжения от зерна к зерну через границу между ними.

В целом полученные уравнения применимы в условиях больших градиентов пластической дисторсии. Такие условия реализуются, в частности, при распространении упругопластических волн.

2. Рассмотрим теперь конкретные приложения изложенного выше формализма. В качестве первого возьмем задачу о трещине сдвига в упругопластическом теле (рис. 1). Трещину будем считать полубесконечной, а пластическую зону S — малой, так что напряжения в пластической зоне полностью определяются коэффициентом интенсивности напряжений в вершине трещины K [9]. Развитие пластического течения представим как радиальное движение винтовых дислокаций, испускаемых из вершины трещины. Тензор плотности дислокаций α_{pl} имеет единственную отличную от нуля компоненту $\alpha_{zz} = \alpha$, и уравнение (1.9) запишем как (в цилиндрических координатах r, φ, z , ось z нормальна плоскости чертежа и направлена вдоль фронта трещины)

$$(2.1) \quad \dot{\beta}_{\zeta, \mathbf{z}}^P = -\beta_{\varphi z, r}^P v_r.$$

Здесь учтено, что вектор v имеет только радиальную компоненту v_r , которая зависит от напряжений сдвига $\sigma_{\varphi z} = \sigma$ в радиальной плоскости. Пусть эта зависимость имеет вид

$$v_r = 0, \quad \sigma^+ \leq \sigma_1; \quad v_r = F(\sigma^+), \quad \sigma^+ > \sigma_1,$$

где σ_1 — критическое напряжение движения дислокаций; $F(\sigma^+)$ — скалярная функция. В квазистатическом случае, используя (1.1)–(1.3), (1.12), можно получить для внешних $\sigma_{\varphi z}^0$ и внутренних $\sigma_{z\varphi}$ напряжений в пластической зоне выражения

$$\sigma_{z\varphi}^0 = -\operatorname{Im} \left\{ \frac{1}{i} \frac{K}{\sqrt{2\pi\xi}} e^{i\varphi} \right\},$$

$$\sigma_{z\varphi} = \int_S M(r, \varphi; r', \varphi') \beta_{\varphi z, r}^P(r', \varphi') dS'.$$

Здесь M — ядро:

$$M(r, \varphi; r', \varphi') = -\operatorname{Im} \left\{ \frac{1}{i} \frac{\mu}{2\pi} \sqrt{\frac{\xi}{\xi'}} \frac{1}{\xi - \xi'} e^{i\varphi} \right\};$$

$\xi = re^{i\varphi}$; $\xi' = r'e^{i\varphi'}$; μ — модуль сдвига; S — область, занимаемая пластической зоной в плоскости r, φ ; Im — мнимая часть комплексной функции.

Ограничимся статическим решением, отвечающим состоянию при $t \rightarrow \infty$, когда пластическая зона сформировалась и движение дислокаций прекратилось. При $v_r = 0$ и $\dot{\beta}_{\varphi z}^P = 0$ уравнение (2.1) удовлетворяется тождественно, а условие предельного равновесия дислокаций ($\sigma^+ = \sigma_1$) сводится к

$$(2.2) \quad \int_S M(r, \varphi; r', \varphi') \beta_{\varphi z, r}^P(r', \varphi') dS' - \operatorname{Im} \left\{ \frac{1}{i} \frac{K}{\sqrt{2\pi\xi}} e^{i\varphi} \right\} = \sigma_1.$$

Решением (2.2), как можно убедиться прямой подстановкой, будет

$$\beta_{\varphi z}^P = \frac{K^2}{\pi\mu\sigma_1} \frac{\cos\varphi}{r}, \quad r \leq R_0 \cos\varphi,$$

где $R_0 = K^2/\pi\sigma_1^2$, оно согласуется с известным решением, полученным обычными методами [10].

В качестве второго приложения рассмотрим распространение плоской пластической волны в однородно-напряженном бесконечном теле (рис. 2). Распространение пластической волны в отличие от упругой связано с диссириацией энергии, и незатухающее движение должно поддерживаться за счет работы внешних сил (в данном случае упругих однородных растягивающих напряжений $\sigma_{yy} = \text{const}$). Уравнение (1.9) допускает однородное решение $\beta_{kl}^P = \text{const}$ в области, где $\mathbf{v} = 0$. Пластическую волну можно представить как кусочно-однородное решение. Пусть пластическая волна распространяется вдоль оси x и в данный момент времени фронт волны совпадает с плоскостью $x = 0$ (см. рис. 2). Для волны простейшей формы положим $\beta_{kl}^P = 0$ при $x > 0$, $\beta_{yy}^P = \beta_y^P = \text{const}$ при $x < 0$, остальные компоненты β_{kl}^P не равны нулю. Подставляя такое разрывное решение (1.9) в (1.4), обнаружим, что на фронте пластической волны имеется поверхностная плотность геометрически необходимых дислокаций

$$(2.3) \quad \alpha_{zy} = \beta_y^P \delta(x),$$

где $\delta(x)$ — дельта-функция Дирака. Плотность дислокаций вида (2.3) характерна также для дислокационной модели фронта ударной волны, предложенной Смитом [11].

Для определения скорости распространения w фронта пластической волны надо задаться физическим набором дислокаций, который имеет нужную плотность (2.3) и может консервативно двигаться в положительном направлении оси x под действием однородных растягивающих напряжений $\sigma_{yy}^0 = \text{const}$. Указанным требованиям удовлетворяет система из двух сортов краевых дислокаций, скользящих в плоскостях, наклоненных под углом 45° к оси y (см. рис. 2). В силу симметрии каждая из этих систем дислокаций имеет одинаковую функцию распределения $f(\tau, \mathbf{b}; \mathbf{r}, t) = \frac{\beta_y^P}{2\beta_y} \delta(x - wt)$ и компоненту скорости v_x .

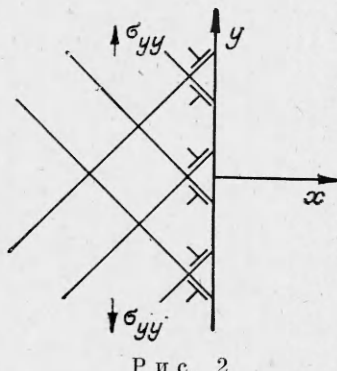


Рис. 2

Приравнивая плотности потоков дислокаций (1.7), (1.8), находим $w = v_x - = v/\sqrt{2}$ (v — скорость физической дислокации в поле напряжений $\sigma_{yy}^0 = \text{const}$).

В реальной ситуации пластические волны могут возникать и при распространении упругой ударной волны [11]. В связи с этим представляет интерес рассмотрение скорости размытия фронта пластической волны. С этой целью будем считать теперь $\beta^P = \beta(x, t)$ гладкой функцией, сохраняя остальные предположения прежними. Из (1.9) следует тогда уравнение относительно $\beta(x, t)$

$$(2.4) \quad \dot{\beta}^P + v_x \beta_{,x}^P = 0.$$

Здесь $v_x = v_x(x, t)$ зависит от x и t . Функция $\beta^P(x, t)$ удовлетворяет граничным условиям

$$\beta^P(-\infty, t) = \beta_-^P, \quad \beta^P(\infty, t) = 0.$$

Примем степенной закон для скорости движения дислокаций [6]

$$(2.5) \quad v = v_0 \left(\frac{\sigma^+}{\sigma_0} \right)^m,$$

где v_0 , σ_0 , m — константы; σ^+ — эффективные напряжения сдвига ($\sigma^+ = -\frac{1}{\sqrt{2}} \sigma_{yy}^+$). Для σ_{yy}^+ имеем в изотропном случае

$$(2.6) \quad \sigma_{yy}^+ = \sigma_{yy}^0 - \frac{\mu}{1-\nu} \beta^P$$

(ν — коэффициент Пуассона).

Пусть $x = x(\beta_0^P, t)$ описывает движение точки постоянного значения $\beta^P = \beta_0^P$. Тогда из (2.4) следует с учетом (2.5), (2.6) [12]

$$(2.7) \quad \frac{dx}{dt} = \frac{v_0}{\sqrt{2}} \left\{ \frac{1}{\sqrt{2} \sigma_0} \left[\sigma_{yy}^0 - \frac{\mu}{1-\nu} \beta^P(x_0) \right] \right\}^m,$$

$\beta^P(x_0) = \beta_0^P(x = x_0, t = 0)$. Решение (2.7) запишем как

$$x = x_0 + \frac{v_0}{\sqrt{2} \sigma_0} \left\{ \frac{1}{\sqrt{2} \sigma_0} \left[\sigma_{yy}^0 - \frac{\mu}{1-\nu} \beta^P(x_0) \right] \right\}^m t.$$

Далее положим $m = 1$. Пусть

$$\beta^P(x_0) = \beta_-^P, \quad x_0 < 0;$$

$$\beta^P(x_0) = \beta_-^P - \lambda x_0, \quad 0 \leq x_0 \leq \Delta x_0; \quad \beta^P(x_0) = 0, \quad x_0 > \Delta x_0,$$

где $\Delta x_0 = \beta_-^P / \lambda$ — начальная ширина фронта пластической волны; λ — константа. Из (2.7) находим в этом случае для ширины фронта пластической волны в произвольный момент времени t

$$\Delta x(t) = \Delta x_0 + \frac{v_0}{2} \frac{\mu}{(1-\nu) \sigma_0} \beta_-^P t.$$

Как видно, $\Delta x(t)$ растет пропорционально времени t и амплитуде пластической волны β_-^P .

ЛИТЕРАТУРА

1. Де Вит Р. Континуальная теория дислокаций.— М.: Мир, 1977.
2. Седов Л. И. Механика сплошной среды.— М.: Наука, 1973, т. 2.
3. Коевич А. М. Дислокации в теории упругости.— Киев.: Наук. думка, 1978.
4. Ханианов Ш. Х. О кинетике непрерывно распределенных дислокаций.— ФММ, 1978, т. 46, № 4.
5. Ханианов Ш. Х. Кинетика дислокаций и дисклинаций.— ФММ, 1980, т. 49, № 1.
6. Фридель Ж. Дислокации.— М.: Мир, 1967.

7. Kossecka E., De Wit R. Disclination dynamics.— Archives of Mech., 1977, v. 29, N 6.
8. Ashby M. F. The deformation of plastically non-homogeneous alloys.— In.: Strengthening methods in crystals/Eds. A. Kelly, R. B. Nicholson. N. Y.: Wiley, 1971.
9. Черепанов Г. П. Механика хрупкого разрушения.— М.: Наука, 1974.
10. Разрушение/Под ред. Г. Либовица.— М.: Мир, 1975, т. 2.
11. Дитер Г. Е. Эффект упрочнения, вызванный ударными волнами.— В кн.: Механизмы упрочнения твердых тел/Под ред. М. Л. Бернштейна. М.: Металлургия, 1965.
12. Кошляков Н. С., Глиннер Э. Б., Смирнов М. М. Уравнения в частных производных математической физики.— М.: Высш. шк., 1970.

Поступила 14/XII 1985 г.

УДК 532.5

ЧИСЛЕННЫЙ АНАЛИЗ НЕЛИНЕЙНОЙ УСТОЙЧИВОСТИ КОЛЕБАНИЙ ПЛИТЫ, ЛЕЖАЩЕЙ НА СЛОЕ ВЯЗКОЙ СЖИМАЕМОЙ ЖИДКОСТИ

B. H. Белоненко, O. Ю. Динариев, A. B. Мосолов
(Москва)

Вопросы, связанные с устойчивостью колебаний механических систем, контактирующих с вязкой сжимаемой жидкостью, часто возникают в различных областях науки, техники и современного производства. Типичный пример — задача об устойчивости тяжело нагруженного узла трения, работающего в условиях повышенной вибрации.

При учете сжимаемости жидкости, описываемой ньютоновской моделью с линейной вязкостью, необходимо наряду со сдвиговыми вязкими напряжениями учитывать также и объемные вязкие напряжения (что обычно не делается) [1]. Предположение о равенстве нулю коэффициента объемной вязкости в большинстве случаев несправедливо, кроме того, для некоторых жидкостей коэффициент объемной вязкости может во много раз (иногда на порядки) превосходить коэффициент обычной сдвиговой вязкости. В связи с этим при интенсивных силовых воздействиях на жидкость нельзя пренебречь диссириацией энергии при изменении объема. В колебательных процессах, сопровождающихся изменением объема, влияние объемной вязкости может оказаться весьма существенным.

1. Постановка задачи и определяющие уравнения. Рассмотрим одномерную задачу о вынужденных колебаниях массивного слоя S , лежащего на слое вязкой сжимаемой жидкости (рис. 1) под действием периодической вынуждающей силы $F(t)$.

Основные уравнения задачи:
уравнение движения

$$(1.1) \quad ml_{,tt} = p - \left(\eta_V + \frac{4}{3} \eta_s \right) \frac{l_{,t}}{l} - mg + F(t);$$

уравнение неразрывности (сохранения массы жидкости)
(1.2) $\rho l = \rho_0 l_0$.

Здесь m — погонная масса слоя S ; $l(t)$, l_0 — текущая и начальная толщина зазора; $\rho(t)$, ρ_0 — текущая и начальная плотность жидкости; p — давление в слое жидкости; η_V и η_s — коэффициенты объемной и сдвиговой вязкости; g — ускорение силы тяжести.

Если в системе происходит разрыв сплошности (отрыв слоя S от слоя жидкости), то уравнение (1.2) перестает выполняться.

Рис. 1

